

Reporte agrometeorológico

Julio de 2019

Red de monitoreo agroclimático del estado de Zacatecas

Guillermo MEDINA GARCÍA
José Israel CASAS FLORES
Miguel Ángel GONZÁLEZ GONZÁLEZ
Arturo CORRALES SUASTEGUI
Luis Antonio GONZÁLEZ JASSO



Pronóstico
de lluvia



SADER
SECRETARÍA DE
AGRICULTURA Y
DESARROLLO RURAL

inifap
Instituto Nacional de Investigaciones
Forestales, Agrícolas y Pecuarias

CENTRO DE INVESTIGACIÓN REGIONAL NORTE CENTRO
CAMPO EXPERIMENTAL ZACATECAS
Calera de V. R., Zacatecas
Folleto informativo No. 189. Agosto de 2019

SECRETARÍA DE AGRICULTURA Y DESARROLLO RURAL

DR. VÍCTOR MANUEL VILLALOBOS ARÁMBULA
Secretario

MIGUEL GARCÍA WINDER
Subsecretario de Agricultura

VÍCTOR SUÁREZ CARRERA
Subsecretario de Autosuficiencia Alimentaria

INSTITUTO NACIONAL DE INVESTIGACIONES FORESTALES, AGRÍCOLAS Y PECUARIAS

DR. JOSÉ FERNANDO DE LA TORRE SÁNCHEZ
Director General del INIFAP

DR. JOSÉ ANTONIO CUETO WONG
Coordinador de Investigación, Innovación y Vinculación

M. C. JORGE FAJARDO GUEL
Coordinador de Planeación y Desarrollo

LIC. JOSÉ HUMBERTO CORONA MERCADO
Coordinador de Administración y Sistemas del INIFAP

CENTRO DE INVESTIGACIÓN REGIONAL NORTE CENTRO

DR. ARTURO DANIEL TIJERINA CHÁVEZ
Director Regional

DR. FRANCISCO JAVIER PASTOR LÓPEZ
Director de Investigación

ING. RICARDO CARRILLO MONSIVÁIS
Director de Administración

MC. RICARDO A. SÁNCHEZ GUTIÉRREZ
Director de Coordinación y Vinculación en Zacatecas



Instituto Nacional de Investigaciones
Forestales, Agrícolas y Pecuarias

Reporte agrometeorológico

Julio de 2019

Red de monitoreo agroclimático del estado de Zacatecas

Guillermo MEDINA GARCÍA¹
José Israel CASAS FLORES²
Miguel Ángel GONZÁLEZ GONZÁLEZ³
Arturo CORRALES SUASTEGUI₃
Luis Antonio GONZÁLEZ JASSO₃

¹Dr. Investigador responsable de la Red de Monitoreo agroclimático del estado de Zacatecas. Campo Experimental Zacatecas. INIFAP.

² Ing. Investigador responsable del Sitio de Internet CEZAC. Campo Experimental Zacatecas. INIFAP.

³ Investigadores Agrometeorología y Modelaje. Campo Experimental Pabellón. INIFAP.

Reporte agrometeorológico Julio de 2019

Instituto Nacional de Investigaciones Forestales, Agrícolas y Pecuarias.
Progreso No. 5
Barrio de Santa Catarina
Delegación Coyoacán
Ciudad de México, 04010
Tel. 01-800-088-2222

No está permitida la reproducción total o parcial de esta publicación, ni la transmisión de ninguna forma o por cualquier medio, ya sea electrónico, mecánico, fotocopia, por registro u otros métodos, sin el permiso previo y por escrito de la Institución.

Primera edición 2019

Contenido

Antecedentes	1
Red de monitoreo agroclimático	2
Resumen mensual de variables meteorológicas	4
Pronóstico de lluvia	5
Agricultura y clima	7
Precipitación	7
Índice de humedad	15
Balance hídrico	17
Resumen mensual	20
Literatura citada.....	26

Antecedentes

La observación sistemática de variables como la temperatura global del aire en la superficie de la tierra y de los océanos indican claramente que el planeta se está calentando (Martinez y Gay, 2015).

Las fluctuaciones del clima a corto y largo plazo -variabilidad del clima y cambio climático- pueden tener repercusiones extremas en la producción agropecuaria y hacer que el rendimiento de las cosechas se reduzca drásticamente, lo que obligaría a los productores a utilizar nuevas prácticas agrícolas en respuesta a las modificaciones de las condiciones prevalecientes (IICA, 2015).

México es un país susceptible a cambios en el clima por su ubicación geográfica en la zona intertropical del hemisferio norte, dos terceras partes del país se encuentran en zonas áridas o semiáridas con sequías extremas y el resto está sujeto a inundaciones (Herron, 2013).

Para disminuir los riesgos de pérdida de producción y mejorar el manejo agrícola, se requiere cuantificar los elementos del clima, ya que son de primordial importancia en la planeación de las

prácticas de manejo. La disponibilidad de un historial de datos cuantioso, fiable y permanente, permite aplicar herramientas para la toma de decisiones en beneficio de la agricultura (INFODEPA, 2012).

En el estado de Zacatecas la mayor parte de la agricultura se realiza en condiciones de temporal (INEGI, 2014). La estación de crecimiento se caracteriza por una alta frecuencia de sequías, heladas tempranas y tardías, lluvias torrenciales mal distribuidas y vientos de gran intensidad. La presencia de plagas y enfermedades, la eficiencia en la absorción de nutrientes, la demanda de agua por las plantas y la duración de los ciclos vegetativos y reproductivos, dependen directamente de las condiciones del clima (Ruiz-Corral *et al.*, 2002; Silva y Hess, 2001, Soto *et al.*, 2009).

Como parte de la estrategia del INIFAP para la divulgación de la información registrada por la red de estaciones, se difunde este reporte agrometeorológico mensual, mediante el cual se ofrece información de las condiciones ambientales prevalecientes en cada mes, relacionada con el desarrollo de los cultivos y otras actividades relacionadas.

Red de monitoreo agroclimático del estado de Zacatecas

La red cuenta con 38 estaciones meteorológicas automáticas distribuidas en el Estado cubriendo diferentes ambientes (Cuadro 1 y Figura 1). Cada estación está equipada con sensores para medir la temperatura del aire, humedad relativa, precipitación, dirección y velocidad del viento y radiación solar global. La medición de las condiciones del estado del tiempo se realiza cada 15 minutos y los datos son transmitidos por las estaciones a la base central que se encuentra ubicada en el Campo Experimental Zacatecas (Medina, 2016). La información de las estaciones puede ser consultada en tiempo real en:

www.zacatecas.inifap.gob.mx

En esta página electrónica se puede consultar datos en forma numérica y en forma gráfica. Además, se presentan índices agroclimáticos como horas frío, horas de heladas, evapotranspiración y aplicaciones para programación del riego (Servín *et al.*, 2012) y alerta fitosanitaria (Cabral *et al.*, 2012). La información está disponible para los productores, dependencias relacionadas con el Sector Agropecuario y para el público en general.

Cuadro 1. Estaciones de la red de monitoreo agroclimático del estado de Zacatecas.

ESTACIÓN	MUNICIPIO
Campo Exp. Zacatecas	Calera
Cañitas	Cañitas Felipe P.
Mesa de Fuentes	Enrique Estrada
Mogotes	F. R. Murguía
Ábrego	Fresnillo
Col. Emancipación	Fresnillo
El Pardillo 3	Fresnillo
Rancho Grande	Fresnillo
U. A. Biología	Guadalupe
Santo Domingo	Jalpa
Palmas Altas	Jerez
Santa Rita	Jerez
Santa Fe	Jerez
UPSZ El Remolino	Juchipila
Loreto	Loreto
Marianita	Mazapil
Tanque de Hacheros	Mazapil
Campo Uno	Miguel Auza
Momax	Momax
El Alpino	Ojocaliente
El Saladillo	Pánfilo Natera
La Victoria	Pinos
Col. Progreso	Río Grande
Col. González Ortega	Sombrerete
Col. Hidalgo	Sombrerete
Emiliano Zapata	Sombrerete
Providencia	Sombrerete
Tierra Blanca	Tabasco
CBTA Tepechitlán	Tepechitlán
Las Arcinas	Trancoso
CBTA Valparaíso	Valparaíso
Agua Nueva	Villa de Cos
Chaparrosa	Villa de Cos
COBAEZ Villa de Cos	Villa de Cos
Sierra Vieja	Villa de Cos
Estancia de Ánimas	Villa G. Ortega
Villanueva	Villanueva
U. A. Agronomía	Zacatecas

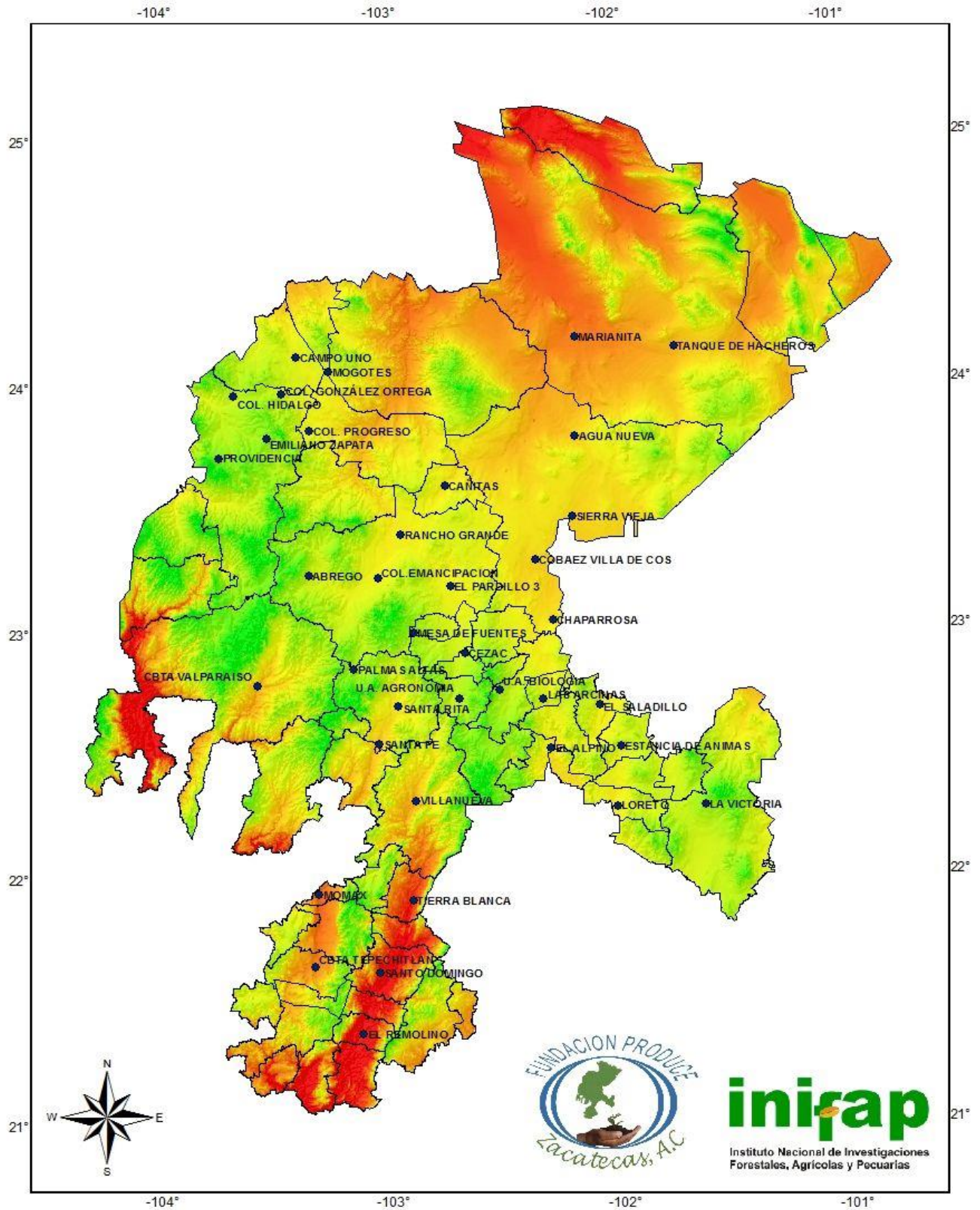


Figura 1. Red de estaciones meteorológicas automáticas del estado de Zacatecas.

Resumen de variables meteorológicas

Mes de Julio

TEMPERATURA

	°C	Estación
Promedio	19.9	
Máxima promedio	27.9	
Máxima extrema	37.8	UPSZ El Remolino
Mínima promedio	13.1	
Mínima extrema	6.6	El Alpino
Promedio mensual histórico*	19.2	

PRECIPITACIÓN

	mm	Estación
Promedio mensual	76.7	
Mínima	10.8	Las Arcinas
Máxima	261.6	CBTA Tepechitlán
Promedio decena uno	15.0	
Mínima	1.2	Momax
Máxima	59.3	Campo Uno
Promedio decena dos	38.8	
Mínima	1.0	Las Arcinas
Máxima	181.0	CBTA Tepechitlán
Promedio decena tres	22.9	
Mínima	1.0	Tanque de Hacheros
Máxima	98.4	UPSZ El Remolino
Promedio mensual histórico*	104.2	

HUMEDAD RELATIVA

	%	Estación
Promedio	62.3	
Máxima promedio	91.5	
Máxima extrema	100.0	2 estaciones
Mínima promedio	30.0	
Mínima extrema	11.8	Tierra Blanca
Promedio mensual histórico**	67.1	

VIENTO

	km/h	Estación
Promedio	6.3	
Máxima promedio	18.8	
Máxima extrema	41.5	Tierra Blanca
Dirección dominante	SSE	
Máxima promedio mensual histórica**	18.9	

Los valores de este resumen son estadísticos básicos de las 38 estaciones del Estado.

*Fuente: CNA. Datos históricos de 1981 a 2010.

**Fuente: Red de monitoreo agroclimático del INIFAP de 2002 a 2018.

Pronóstico de Lluvia

En el mes de agosto se espera una precipitación de 51 a 100 mm en el centro norte y 101 a 175 en el sur del Estado (Figura 2). Esto indica que lloverá igual o ligeramente menos que el promedio histórico en la mayor parte del Estado (Figura 3).

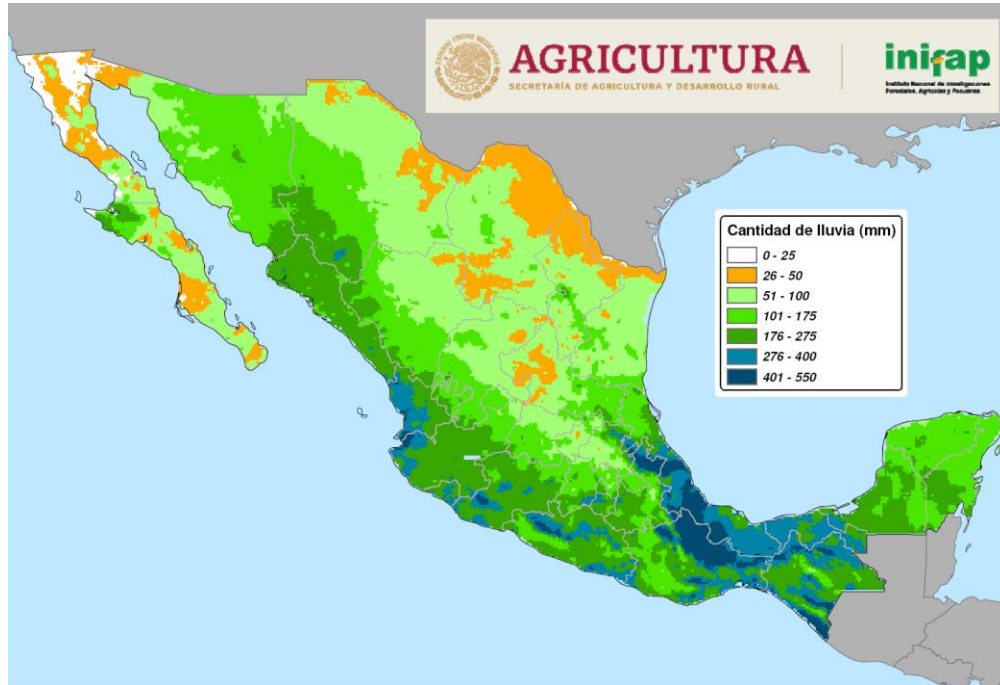


Figura 2. Pronóstico de lluvia para el mes de agosto de 2019.

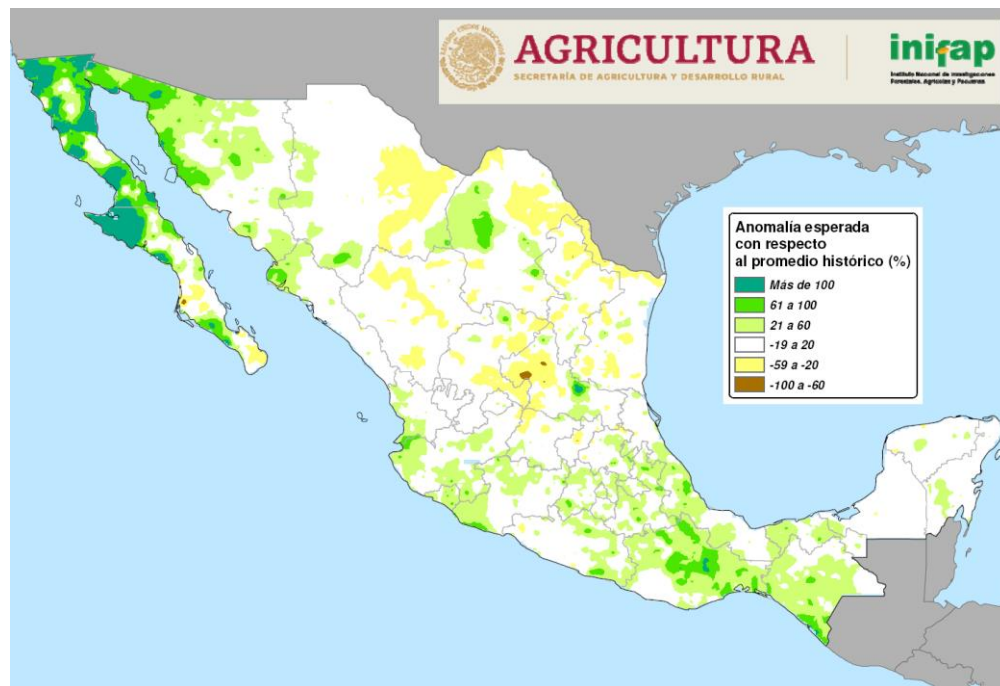


Figura 3. Pronóstico de anomalía de lluvia para el mes de agosto de 2019.

En el mes de septiembre se espera una precipitación de 51 a 100 mm en la mayor parte del Estado (Figura 4). Esto indica que lloverá igual al promedio histórico en la mayor parte del Estado y ligeramente superior al promedio en el norte del Estado (Figura 5).



Figura 4. Pronóstico de lluvia para el mes de septiembre de 2019.

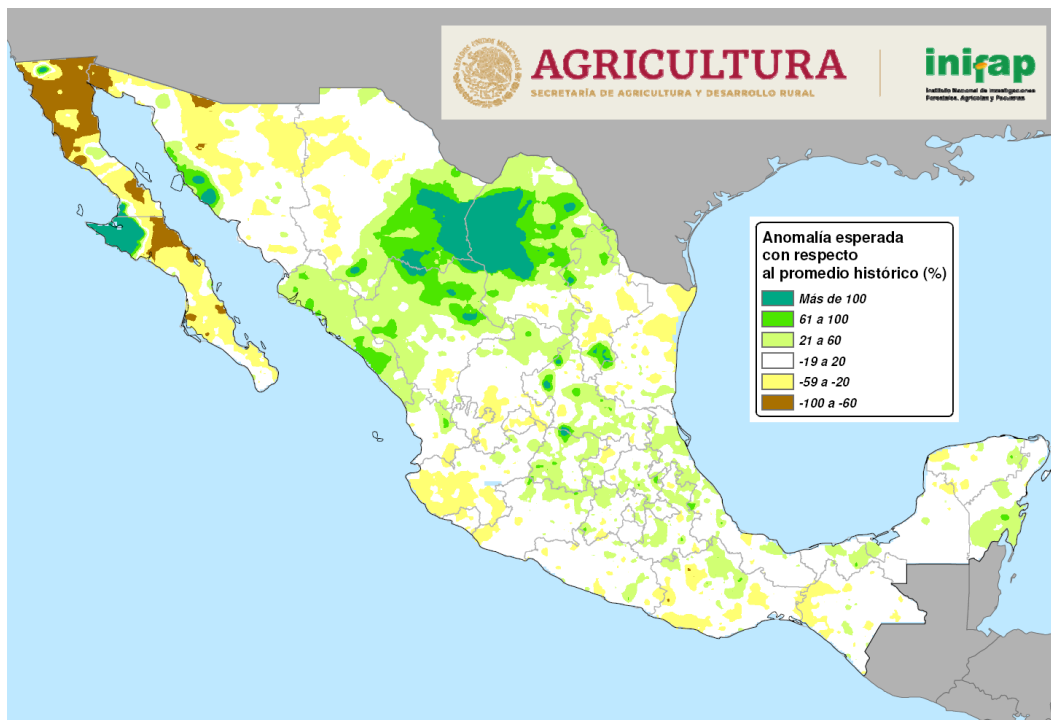


Figura 5. Pronóstico de anomalía de lluvia para el mes de septiembre de 2019.

Agricultura y clima

Precipitación

La agricultura que se practica bajo condiciones de temporal tiene como principal limitante la precipitación pluvial, tanto en cantidad como en distribución, es por esto que en los meses de la temporada de lluvia (verano) se le dará mayor énfasis a esta variable.

En la primera decena del mes de julio continuaron las precipitaciones y en promedio se registraron 15.0 mm, alcanzando valores desde 1.2 mm en la estación Col. Emancipación, Fresnillo, hasta 59.3 mm en la estación Campo Uno, Miguel Auza (Figura 6). En esta decena se presentaron lluvias menores a lo normal en la mayor parte del Estado, excepto en el noroeste y sureste donde la lluvia fue mayor a lo normal (Figura 7).

En la segunda decena del mes en general se incrementaron las lluvias en comparación a la decena anterior, se registró en promedio 38.8 mm,

alcanzando valores desde 1.0 mm en la estación Las Arcinas, Trancoso, hasta 181.0 mm en la estación CBTA Tepechitlan (Figura 8). Las lluvias ocurridas fueron muy variables y representan lluvias menores a lo normal en partes del norte y centro del Estado, así como mayores a lo normal en la región sur y centro (Figura 9).

En la tercera decena del mes de julio disminuyeron las lluvias, registrándose desde 1.0 mm en la estación Tanque de Hacheros, Mazapil, 98.4 mm en la estación UPSZ El Remolino, Juchipila (Figura 10). Respecto al porcentaje de lluvia en comparación con el promedio histórico, en la mayor parte del Estado llovió menos de lo normal, excepto en algunas pequeñas zonas donde llovió más del promedio (Figura 11).

Considerando la lluvia acumulada durante todo el mes, se registraron precipitaciones entre 10.8 y 261.6 mm, siendo 76.7 mm el promedio de todas las estaciones (Figura 12). Las lluvias

ocurridas representan menor lluvia con respecto al promedio en la mayor parte del Estado, excepto en parte de la zona frijolera, sureste y sur del Estado, donde llovió igual o más que el promedio histórico (Figura 13).

En resumen, tomando en cuenta la lluvia registrada en todas las estaciones de la Red, en promedio se registró 15.0 mm en la primera decena, 38.8 mm en la segunda y 22.9 mm en la tercera, contra el promedio histórico de las mismas decenas que son de 37.6, 38.0 y 28.6 mm, respectivamente, lo cual indica que en la primera decena llovió menos que el promedio histórico, en la segunda igual y en la tercera decena ligeramente menos que el promedio histórico.

De acuerdo con las lluvias registradas en el mes, puede decirse que la precipitación ha sido muy irregular en todo el Estado y en algunas regiones no se cuenta con humedad suficiente en el suelo, pero en otras regiones sí para iniciar las siembras de temporal.

La precipitación acumulada durante los meses de junio y julio oscila entre 49.4 mm en la estación Ábrego, Fresnillo y 271.2 mm en la estación CBTA Tepechtlán, aunque en la mayor parte del Estado ha oscilado entre 150 y 250 mm (Figura 14).

Considerando la cantidad de lluvia ocurrida en estos dos meses como porcentaje con respecto a la lluvia promedio, de manera general las lluvias han sido iguales o ligeramente superiores al promedio principalmente en el norte del Estado e iguales o inferiores en partes del centro y sur (Figura 15).

En la Figura 16 se presentan a manera de ejemplo dos gráficas de una estación, con la lluvia decenal y la lluvia decenal acumulada de lo que va del año. El resto de las gráficas de las estaciones pueden ser consultadas en el sitio de Internet del Campo Experimental Zacatecas

www.zacatecas.inifap.gob.mx

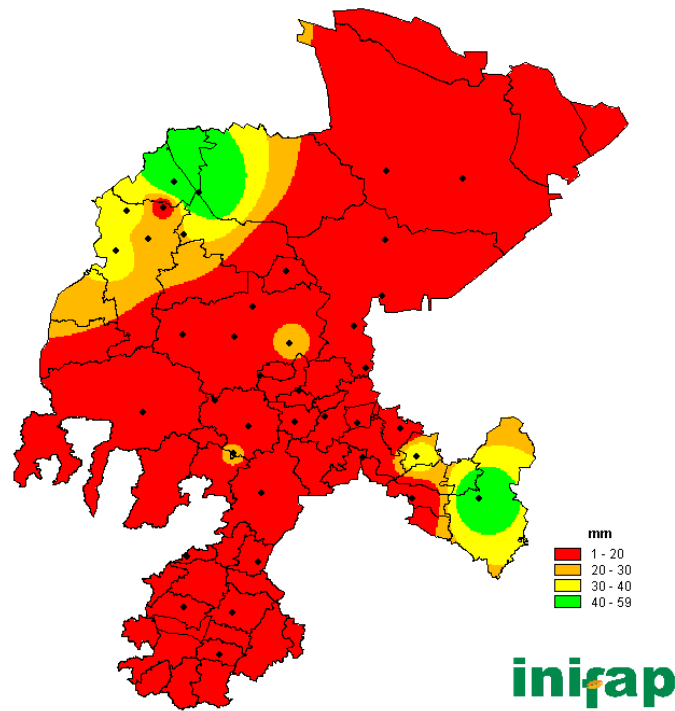


Figura 6. Precipitación de la primera decena del mes de julio del 2019. Red de monitoreo agrometeorológico del estado de Zacatecas.

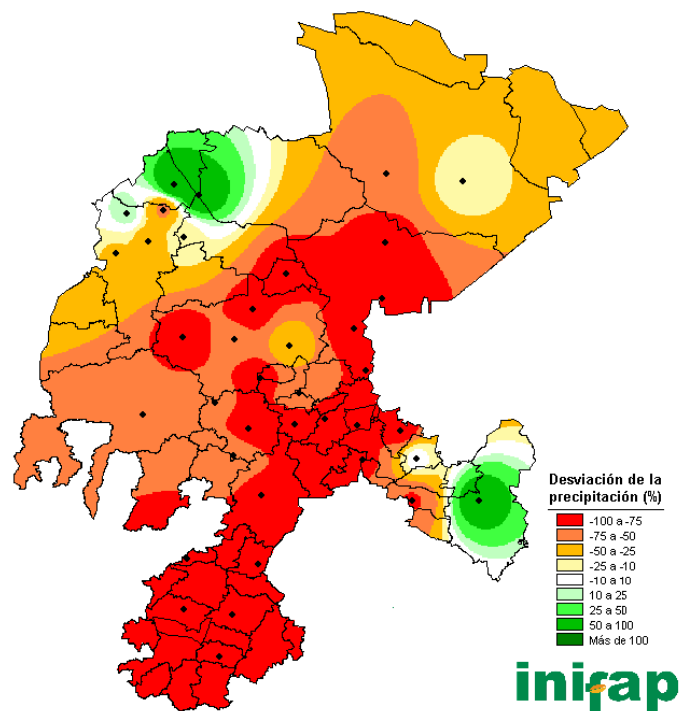


Figura 7. Porcentaje de la precipitación ocurrida en la primera decena del mes de julio del 2019 con respecto al promedio histórico. Red de monitoreo agrometeorológico del estado de Zacatecas.

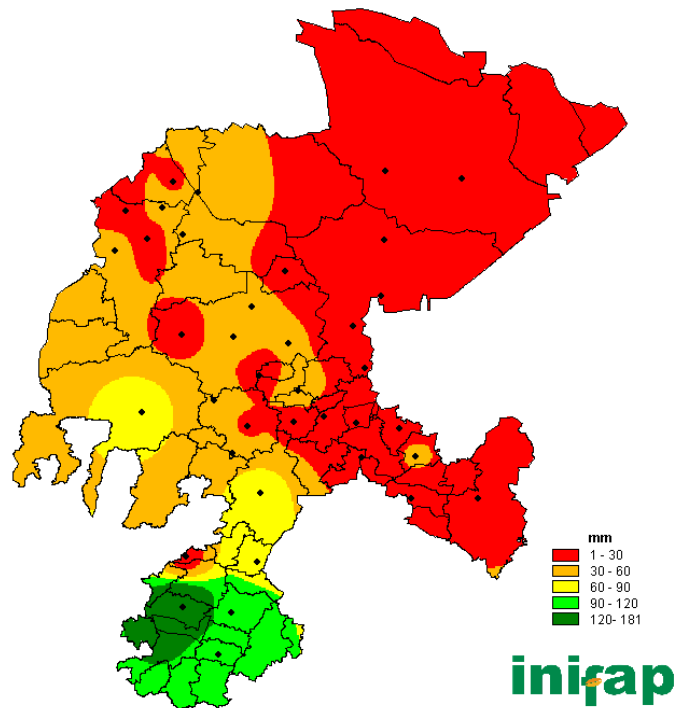


Figura 8. Precipitación de la segunda decena del mes de julio del 2019. Red de monitoreo agroclimático del estado de Zacatecas.

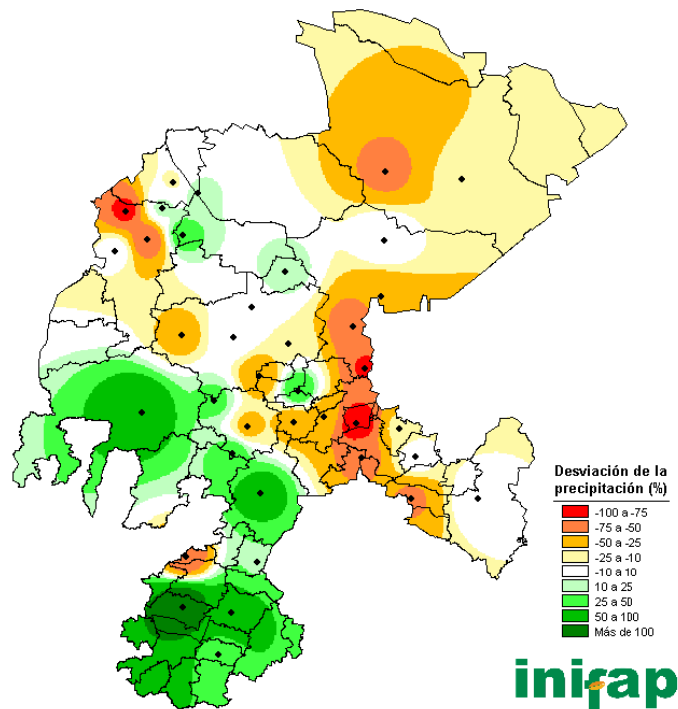


Figura 9. Porcentaje de la precipitación ocurrida en la segunda decena del mes de julio del 2019 con respecto al promedio histórico. Red de monitoreo agroclimático del estado de Zacatecas.

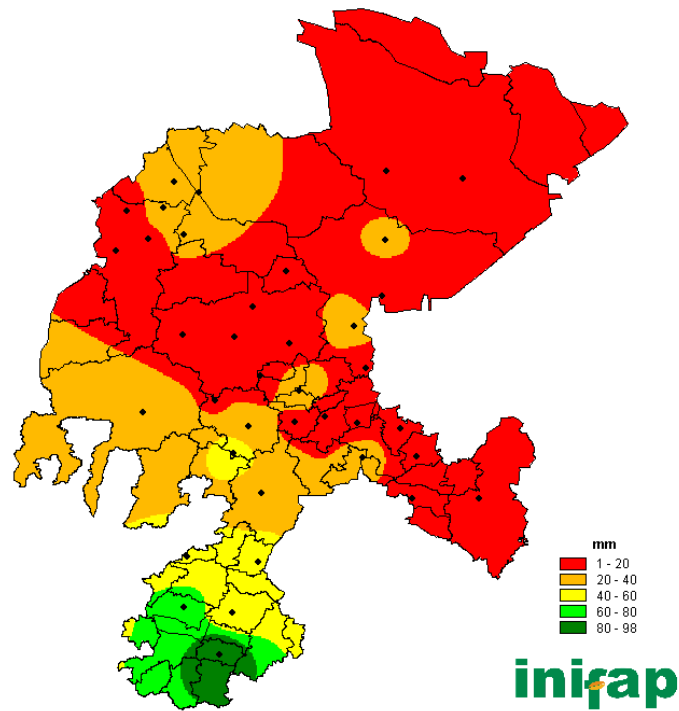


Figura 10. Precipitación de la tercera decena del mes de julio del 2019. Red de monitoreo agroclimático del estado de Zacatecas.

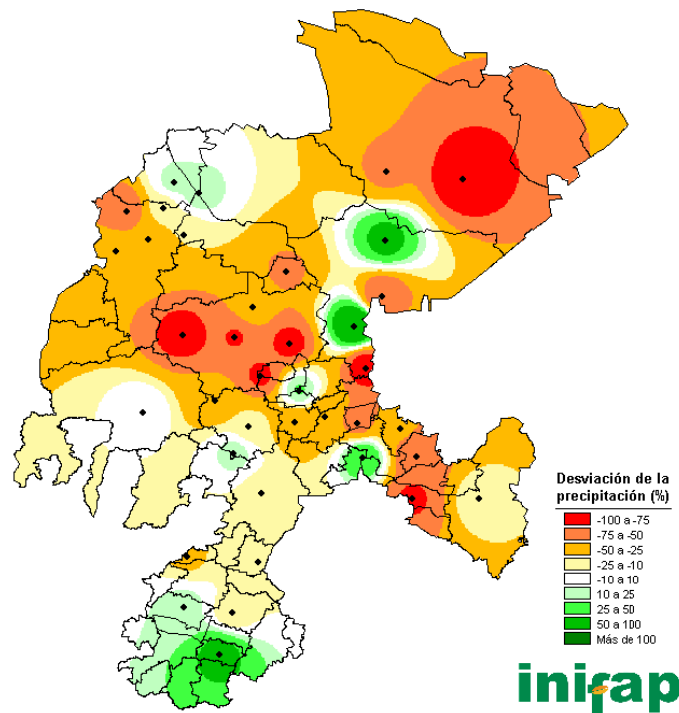


Figura 11. Porcentaje de la precipitación ocurrida en la tercera decena del mes de julio del 2019 con respecto al promedio histórico. Red de monitoreo agroclimático del estado de Zacatecas.

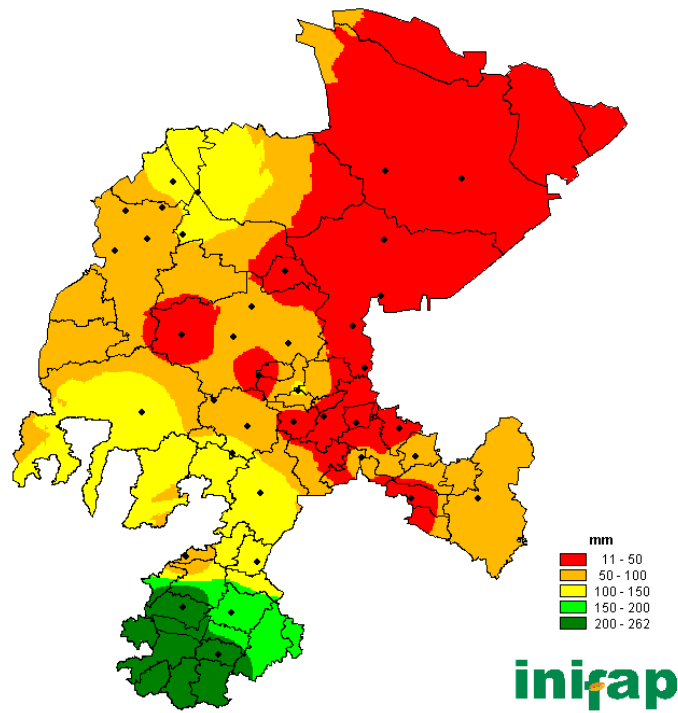


Figura 12. Precipitación del mes de julio del 2019. Red de monitoreo agroclimático del estado de Zacatecas.

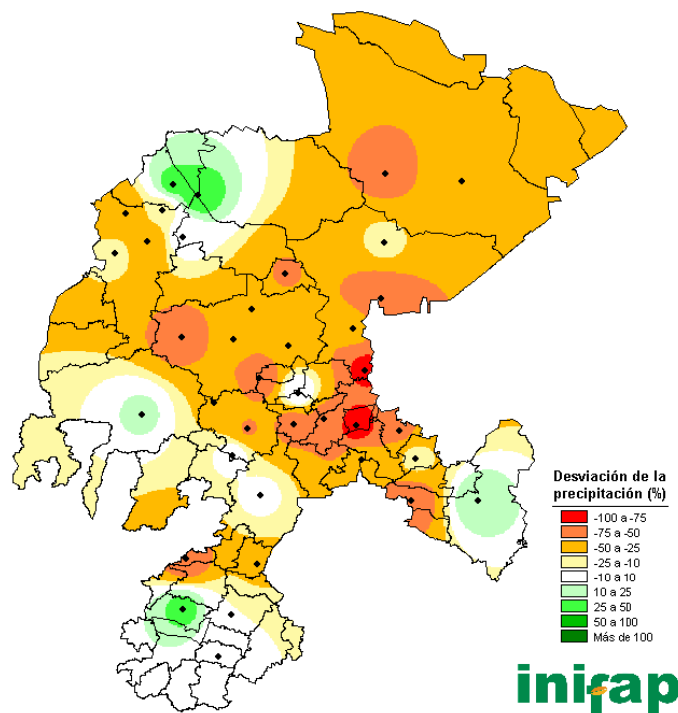


Figura 13. Porcentaje de la precipitación ocurrida en el mes de julio del 2019 con respecto al promedio histórico. Red de monitoreo agroclimático del estado de Zacatecas.

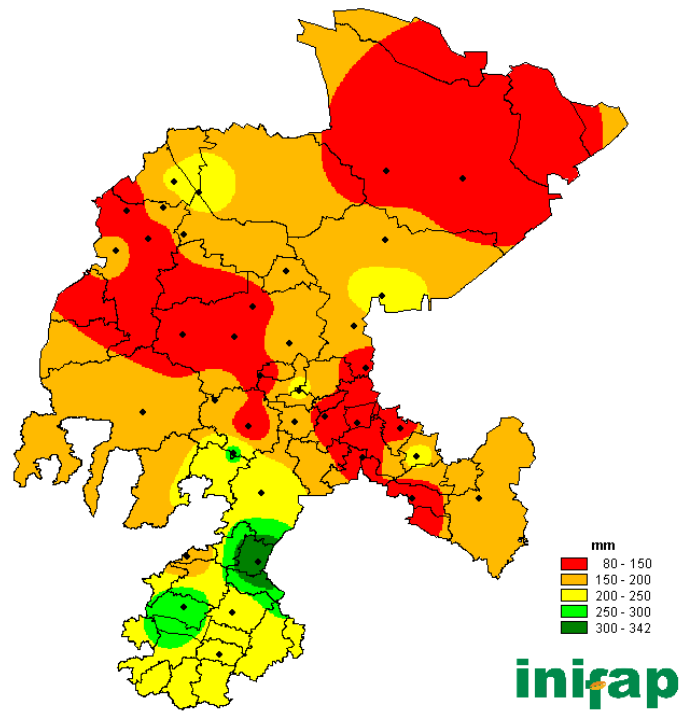


Figura 14. Precipitación acumulada en los meses de junio y julio del 2019.

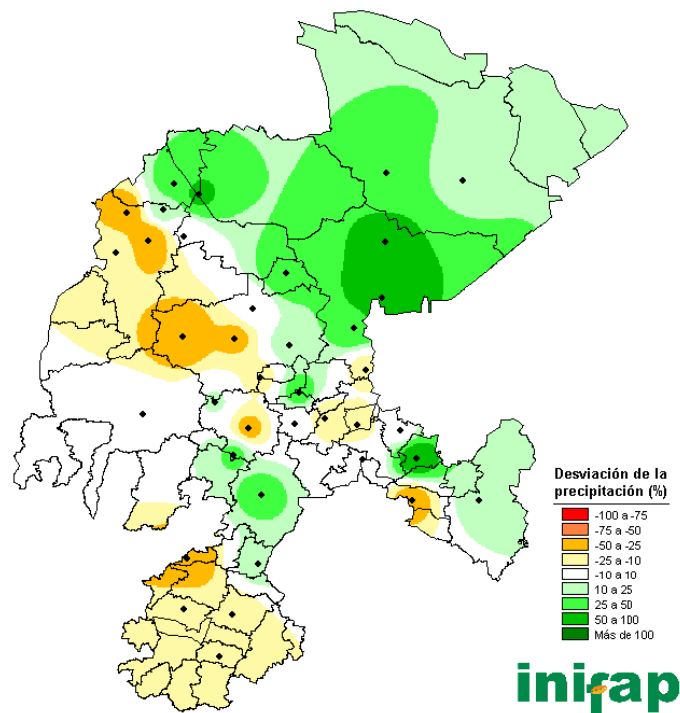
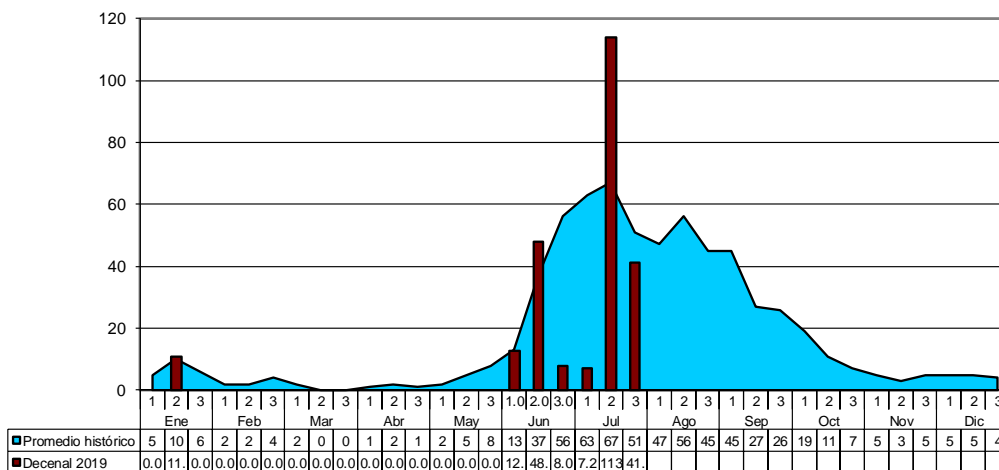


Figura 15. Desviación de la precipitación (%) ocurrida en los meses de junio y julio del 2019 con respecto al promedio histórico.

inirap



inirap

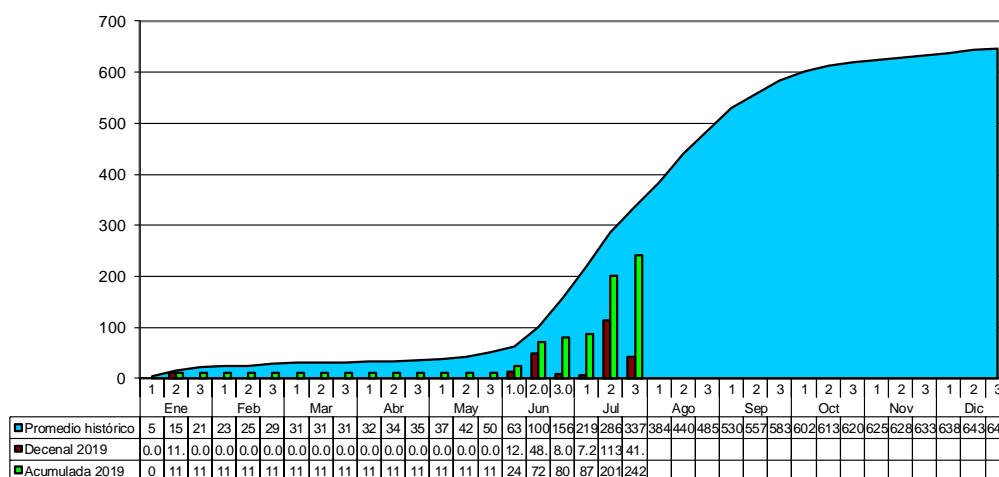


Figura 16. Precipitación decenal (arriba) y acumulada (abajo) hasta el mes de julio en la estación Santo Domingo, Jalpa. Red de monitoreo agroclimático del estado de Zacatecas.

ÍNDICE DE HUMEDAD

En la agricultura de temporal, los procesos de crecimiento y desarrollo de las plantas tienen como uno de los principales factores limitantes a la disponibilidad de humedad en el suelo, donde la fuente de abastecimiento de agua es la lluvia. Debido a la variabilidad que tiene la lluvia en tiempo y espacio, no es el indicador más adecuado (Flores y Ruiz, 1998).

Sin embargo, existen diversos parámetros o índices que indican cómo ha sido la humedad disponible en cierto período de tiempo en relación con las especies vegetales. Uno de estos parámetros es el índice de humedad (Villalpando y Ruiz, 1993), el cual está dado por la expresión:

$$IH = \frac{P}{ETo}$$

Donde:

IH = Índice de humedad

P = Precipitación

ETo = Evapotranspiración potencial

La *P* y la *ETo* corresponden al mismo período del cual se quiere obtener el *IH*;

de estas dos variables la primera es registrada directamente en el pluviómetro de las estaciones y la segunda es estimada por el programa Advantage Ver. 6.1, que maneja las estaciones, y es estimada por el método de Penman-Monteith (ADCON, 2000).

La evapotranspiración potencial es el agua evaporada desde el suelo y el agua transpirada por las plantas (Ortiz, 1987). La *ETo* es la máxima cantidad de agua capaz de ser perdida por una capa continua de vegetación que cubra todo el terreno, cuando es ilimitada la cantidad de agua suministrada.

El índice de humedad es un indicador de la cantidad de agua que se pierde por la *ETo* y la cantidad de agua que es recuperada por la lluvia. Los datos de estas dos variables utilizadas provienen de las mediciones de la “Red de Estaciones Agroclimáticas del estado de Zacatecas”.

Durante el mes de julio se presentaron precipitaciones menores a lo normal en la mayor parte del Estado. En la Figura 17 se presenta el mapa del índice de humedad del mes. De acuerdo con esta

figura, el índice de humedad resultó deficiente y ligeramente deficiente en la mayor parte del Estado y algunas zonas del sur del Estado adecuada y ligeramente excesiva, sin embargo, cabe aclarar que estos resultados son

de la lluvia acumulada en todo el mes. El índice de humedad indica que en gran parte del Estado no hubo humedad suficiente en el suelo para iniciar las siembras en el mes de julio.

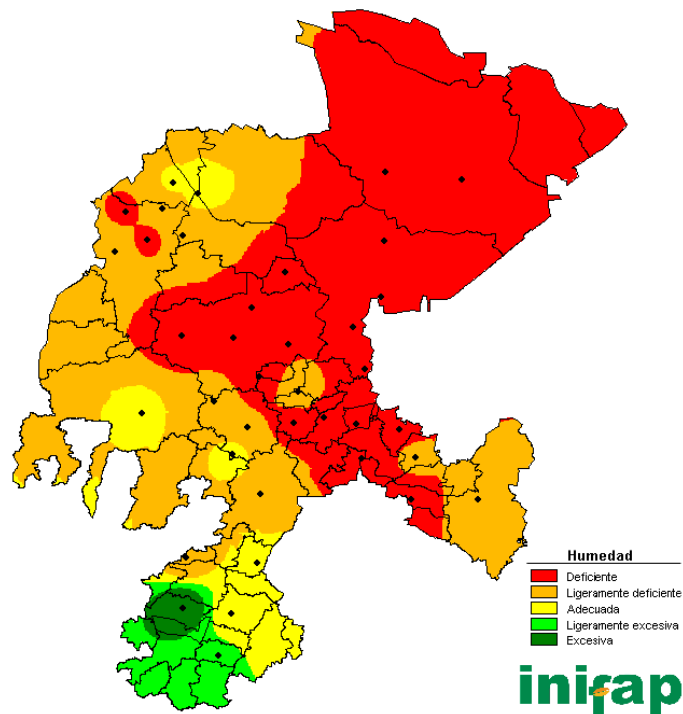


Figura 17. Índice de humedad del mes de julio del 2019.

BALANCE HÍDRICO

No toda el agua de lluvia que cae sobre la superficie del suelo puede realmente ser utilizada por las plantas. Parte del agua de lluvia se infiltra en el suelo y parte fluye sobre la superficie en forma de escorrentía. Cuando la lluvia cesa, parte del agua que se encuentra en la superficie del suelo se evapora directamente a la atmósfera, mientras que el resto se infiltra lentamente a horizontes inferiores del suelo. Del total del agua que se infiltra, parte percola por debajo de la zona de raíces, mientras que el resto permanece almacenado en dicha zona y puede ser utilizada por las plantas (Veenhuizen, 2000).

La capacidad de campo (CC) es la máxima capacidad de retención de humedad por el suelo contra la fuerza de gravedad. El punto de marchitez (PM) es el grado de humedad en el suelo, cuando las plantas no pueden absorber más agua. El agua utilizable por las plantas es la diferencia entre CC y PM (Sánchez, 2005).

La porción de agua almacenada en la zona de raíces se le denomina precipitación efectiva o capacidad de almacenamiento de agua en el suelo. En otras palabras, es la fracción de lluvia que estará realmente disponible para satisfacer, al menos parte de las necesidades de agua de las plantas. Para determinar cuál es la capacidad de almacenamiento de agua en el suelo se utiliza una ecuación que considera la capacidad de campo, el punto de marchitez permanente, la densidad aparente y la profundidad del suelo (Israelsen y Hansen, 1965; Withers y Vipond, 1982).

Por otra parte, se determinan los requerimientos de agua (Palacios y García, 1989) de los cultivos (ETc) y posteriormente se realiza un balance hídrico (BH) que es la diferencia entre el agua que ha recibido el cultivo y el agua perdida por éste y el suelo. El método consiste en hacer un BH acumulativo registrado decenalmente a lo largo de la estación de crecimiento de un cultivo dado (Frere y Popov, 1980; Rice *et al.*, 1986).

Para cuantificar el déficit y el exceso de humedad que puede ocurrir durante el ciclo del cultivo, se calcula un índice de satisfacción de la demanda hídrica (ISDH), el cual señala en porcentaje el grado con que se satisfacen las necesidades hídricas del cultivo. El valor final de este índice indicará si la demanda hídrica del cultivo fue satisfecha por la precipitación y en qué porcentaje (Medina et al., 2004).

En el Cuadro 2 se presenta el avance de siembras de frijol de temporal en el ciclo PV 2019, se observa que, de las dos fechas reportadas, la primera presenta un menor porcentaje de siembras con 7.5% y la segunda 37.6%. Considerando los datos presentados en este cuadro, se propone como fecha de siembra para realizar el balance hídrico del frijol de temporal el 21 de julio (tercera decena), ya que el balance se presenta por decenas.

En el Cuadro 3 se presenta el balance hídrico de frijol de temporal, referenciado como porcentaje de satisfacción de la demanda hídrica, considerando una fecha de siembra del

21 de julio. Ahí se observa que en la segunda tercera del mes el balance hídrico resultó con un índice de satisfacción de la demanda hídrica muy variable entre las estaciones, de los cuatro distritos donde se tiene mayor superficie sembrada con frijol. El DDR Zacatecas fue el que inició las siembras con menor humedad en el suelo, con un índice de satisfacción de la demanda hídrica promedio de 62% y estaciones con un valor del índice de 7 y 21%. En cambio, los DDR de Ojocaliente y Río Grande fueron los que iniciaron las siembras con un mejor balance de humedad en el suelo, 93 y 92%, respectivamente.

Lo anterior indica de inicialmente el cultivo de frijol cuenta con humedad muy variable en el suelo.

Cuadro 2. Porcentaje de avance de siembras de frijol de temporal ciclo PV 2019 en los DDR del estado de Zacatecas.

FECHA	FRESNILLO	RIO GRANDE	OJO-CALIENTE	TLAL-TENANGO	JEREZ	CONCEPCIÓN DEL ORO	ZACATECAS	JALPA	TOTAL
12/07/2019	0.8	0.1	26.5	0.0	6.2	0.0	21.8	0.0	7.5
26/07/2019	18.1	44.7	50.5	26.9	30.5	94.2	22.6	50.7	37.6
SUMA	18.8	44.8	77.0	26.9	36.7	94.2	44.3	50.7	45.1

Fuente: SADER Zacatecas

Cuadro 3. Porcentaje de satisfacción de la demanda hídrica de frijol de temporal considerando una fecha de siembra del 21 de julio de 2019.

DDR	ESTACIÓN	Julio (Decenas)			Agosto (Decenas)			Septiembre (Decenas)			Octubre (Decenas)			PROM.
		1	2	3	1	2	3	1	2	3	1	2	3	
FRESNILLO	ÁBREGO			35										35
	CAÑITAS			78										78
	COL. EMANCIPACIÓN			100										100
	EL PARDILLO 3			82										82
	RANCHO GRANDE			100										100
	PROMEDIO			79										79
OJOCALIENTE	EL ALPINO			100										100
	EL SALADILLO			79										79
	ESTANCIA DE ÁNIMAS			100										100
	LA VICTORIA			100										100
	LORETO			85										85
	PROMEDIO			93										93
RIO GRANDE	CAMPO UNO			100										100
	COL. GLEZ. ORTEGA			100										100
	COL. HIDALGO			66										66
	COL. PROGRESO			100										100
	EMILIANO ZAPATA			79										79
	MOGOTES			100										100
	PROVIDENCIA			100										100
	PROMEDIO			92										92
ZACATECAS	AGUA NUEVA			100										100
	CEZAC			100										100
	CHAPARROSA			7										7
	COBAEZ			100										100
	LAS ARCINAS			37										37
	MESA DE FUENTES			21										21
	SIERRA VIEJA			21										21
	U.A. AGRONOMÍA			83										83
	U.A. BIOLOGÍA			87										87
	PROMEDIO			62										62
PROMEDIO GENERAL				79									79	

Resumen mensual

En el Cuadro 4 se presentan mensualmente las estadísticas de temperatura y en el Cuadro 5, la humedad relativa y viento, considerando las 38 estaciones de la red en ambos casos. De esta manera, se pueden comparar los valores de los meses que han transcurrido en el año y verificar los cambios ocurridos. En el Cuadro 4 se observa que, en el mes de julio, la estación UPSZ El Remolino registró el valor más alto de temperatura con 37.8 °C, mientras que el valor mínimo se registró en este mes de julio en la estación El Alpino, Ojocaliente con 6.6 °C.

En cuanto a la humedad relativa, normalmente a partir del mes de junio se incrementa notablemente la humedad relativa, con valores promedio mensuales arriba del 50%. En este mes de julio la humedad relativa promedio fue de 62.3%. El valor máximo de velocidad del viento en el mes de julio fue de 41.5 km/h en la estación Tierra Blanca, Tabasco y la dirección dominante del viento fue sur sureste (Cuadro 5).

En el Cuadro 6 se presenta la precipitación mensual ocurrida en cada uno de los meses del año y en cada una de las 38 estaciones de la red. En éste mes de julio se observa que la precipitación promedio fue de 76.7 mm, la cual resultó inferior al promedio histórico para este mes (104.2 mm).

En las Figuras 18 a 21 se presentan los valores históricos de diferentes variables desde la instalación de las estaciones en el año 2002 hasta el año 2019 del mes de julio, considerando todas las estaciones de la red.

En la Figura 18 se presentan los promedios de temperatura, donde se observa que en el mes de julio la temperatura media, máxima media y mínima media resultaron similares al mes de julio del año 2018.

La Figura 19 presenta los valores máximo y mínimo de temperatura, en el valor máximo se observa un aumento en los últimos dos años, lo cual se debe a la instalación de la estación UPSZ El

Remolino en el municipio de Juchipila; el valor mínimo se mantuvo igual con respecto al año 2018.

La Figura 20 presenta valores máximos de velocidad del viento registrados en el mes de julio desde el año 2002 al 2019. En este año el valor máximo de velocidad resultó entre los valores bajos registrados, con una velocidad de 41.5 km/h en la estación Tierra Blanca, Tabasco. Precisando que es velocidad del viento máxima, no son ráfagas, las

cuales pueden alcanzar valores mayores.

Los valores promedio de lluvia registrada por las 38 estaciones de la red en el mes de julio desde el año 2002 se presentan en la Figura 21. En el presente año el mes de julio registró una lluvia promedio de 76.7 mm, resultando el cuarto año con menor lluvia registrada, de los 18 años con registros de la red.

Cuadro 4. Estadísticas básicas mensuales de temperatura del año 2019, considerando las 38 estaciones de la red de monitoreo agroclimático del estado de Zacatecas.

MES	TEMPERATURA (°C)						
	VALOR MÁXIMO	ESTACIÓN	VALOR MÍNIMO	ESTACIÓN	MEDIA* MÁXIMA	MEDIA* MÍNIMA	MEDIA*
Enero	32.9	UPSZ Remolino	-7.9	El Pardillo 3	22.0	2.8	12.0
Febrero	36.2	UPSZ Remolino	-4.9	El Pardillo 3	25.7	5.5	15.6
Marzo	37.6	UPSZ Remolino	-2.0	El Pardillo 3	27.8	6.3	17.3
Abril	38.2	UPSZ Remolino	-2.0	Momax	28.3	7.1	18.4
Mayo	39.3	UPSZ Remolino	0.8	Santa Fe	31.0	10.6	21.4
Junio	39.8	UPSZ Remolino	7.3	El Alpino	29.9	14.2	21.7
Julio	37.8	UPSZ Remolino	6.6	El Alpino	27.9	13.1	19.9
Agosto							
Septiembre							
Octubre							
Noviembre							
Diciembre							

*Promedios considerando todas las estaciones de la red.

inifap

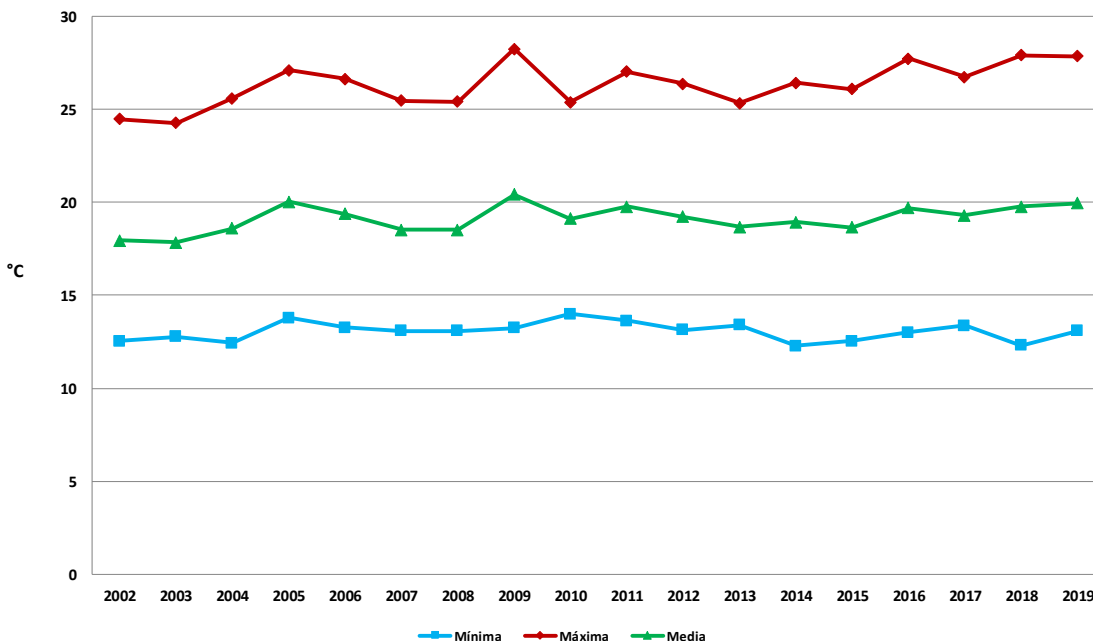


Figura 18. Temperatura media histórica en el mes de julio, considerando las 38 estaciones de la red de monitoreo agroclimático del estado de Zacatecas.

inifap

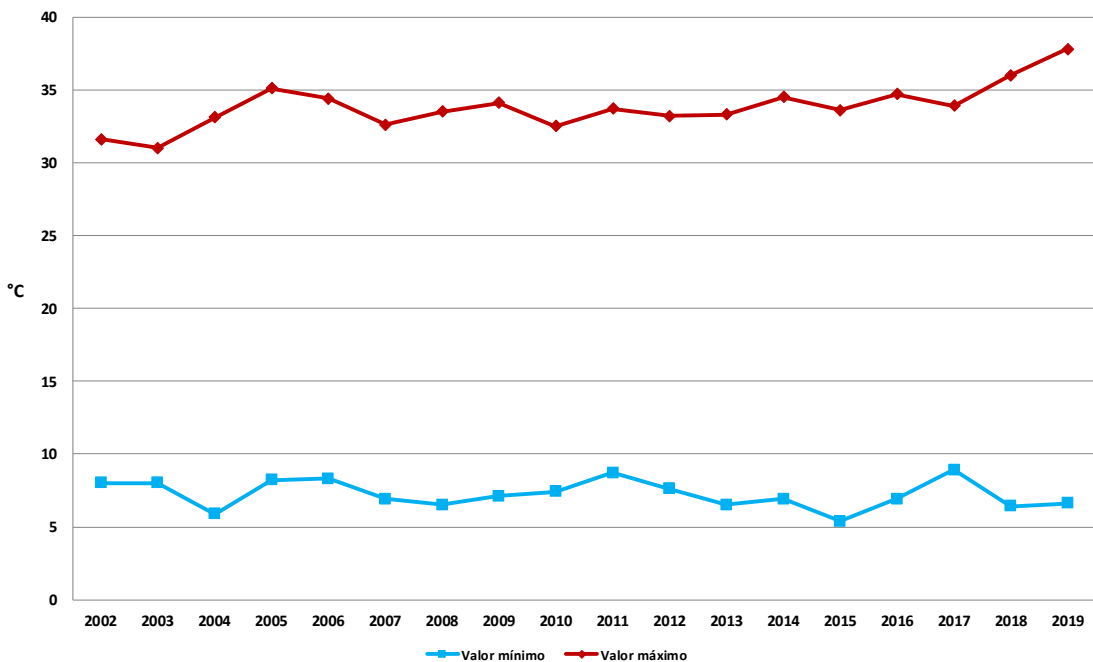


Figura 19. Valores máximos y mínimos históricos de temperatura en el mes de julio, considerando las 38 estaciones de la red de monitoreo agroclimático del estado de Zacatecas.

Cuadro 5. Estadísticas básicas mensuales de humedad relativa y viento del año 2019, considerando las 38 estaciones de la red de monitoreo agroclimático del estado de Zacatecas.

MES	HUMEDAD RELATIVA (%)			VELOCIDAD DEL VIENTO (km/hr)				VIENTO DIRECCIÓN DOMINANTE*
	MEDIA* MÁXIMA	MEDIA* MÍNIMA	MEDIA*	VALOR MÁXIMO	ESTACIÓN	MEDIA* MÁXIMA	MEDIA*	
Enero	83.1	22.1	52.5	42.4	Col. Hidalgo	17.8	6.6	SSO
Febrero	75.4	17.7	43.4	60.4	Col. Emancipación	21.5	9.0	SSO
Marzo	69.3	12.9	36.4	55.7	Mogotes	19.6	7.9	SSO
Abril	51.1	9.6	25.0	50.3	Providencia	21.5	9.1	SSO
Mayo	53.8	11.1	27.1	53.5	Emiliano Zapata	21.4	9.1	SSO
Junio	85.4	23.8	53.5	41.5	La Victoria	20.1	7.4	SSE
Julio	91.5	30.0	62.3	41.5	Tierra Blanca	18.8	6.3	SSE
Agosto								
Septiembre								
Octubre								
Noviembre								
Diciembre								

*Promedios considerando todas las estaciones de la red.

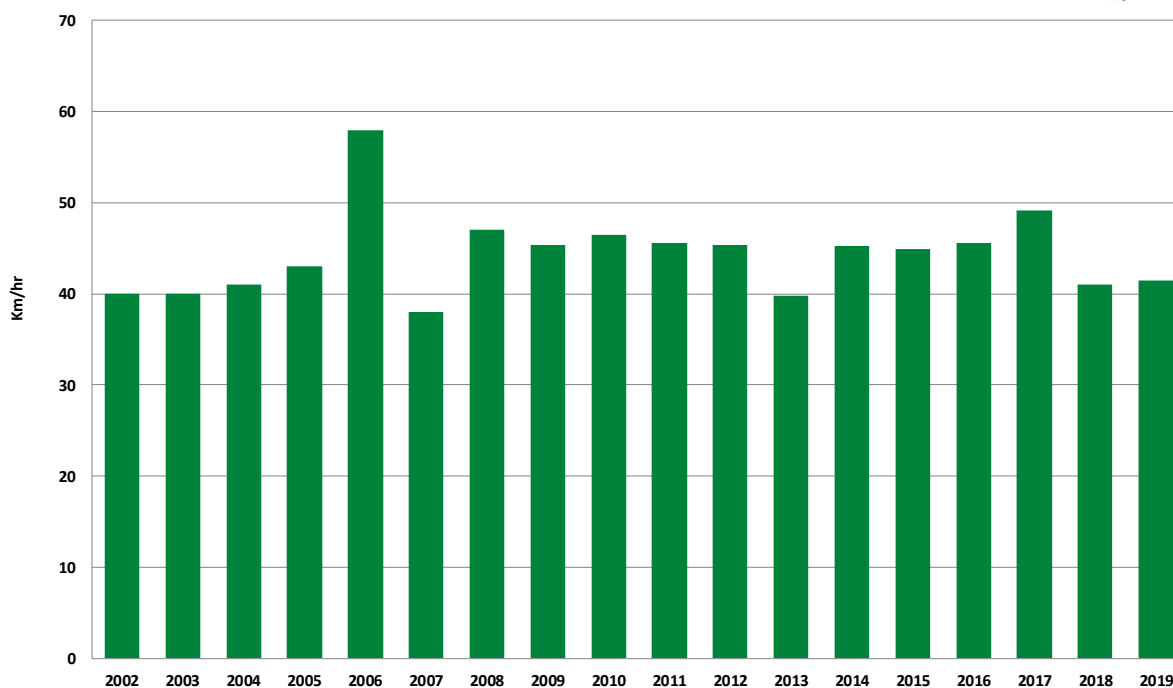


Figura 20. Valor máximo histórico de velocidad del viento en el mes de julio, considerando las 38 estaciones de la red de monitoreo agroclimático del estado de Zacatecas.

Cuadro 6. Precipitación mensual y acumulada por estación en el año 2019 de la red de monitoreo agroclimático del estado de Zacatecas.

ESTACIÓN	PRECIPITACIÓN (mm)												ACUMULADO ANUAL
	ENE	FEB	MAR	ABR	MAY	JUN	JUL	AGO	SEP	OCT	NOV	DIC	
Ábrego	6.2	0.0	0.0	0.0	7.6	17.4	32.0						63.2
Agua Nueva	6.8	0.0	1.2	1.2	7.4	63.8	49.2						129.6
C. Exp. Zacatecas	17.9	0.0	1.2	0.0	0.3	45.2	101.7						166.3
Campo Uno	6.6	0.0	0.0	0.0	1.8	38.8	120.1						167.3
Cañitas	2.2	3.2	0.6	0.0	0.0	68.2	40.4						114.6
CBTATepechtlán	0.0	0.0	0.0	0.0	0.0	9.6	261.6						271.2
CBTA Valparaíso	7.2	0.0	0.0	0.0	0.0	38.6	123.4						169.2
Chaparrosa	20.3	0.0	4.4	0.0	0.0	40.6	17.7						83.0
COBAEZ	7.2	0.0	4.8	0.0	0.6	88.8	46.2						147.6
Col. Emancipación	6.8	5.8	0.0	0.0	0.6	23.4	54.2						90.8
Col. Glz. Ortega	1.4	0.0	0.0	0.8	2.4	57.6	87.4						149.6
Col. Hidalgo	2.3	0.0	0.0	0.0	2.4	21.3	52.3						78.3
Col. Progreso	2.0	0.6	1.3	0.0	3.8	28.4	101.2						137.3
El Alpino	10.8	0.0	5.6	0.0	0.2	40.4	52.7						109.7
El Pardillo 3	15.5	0.0	11.1	0.0	0.0	49.4	60.8						136.8
El Saladillo	7.1	0.0	5.9	0.0	6.9	42.1	40.5						102.5
Emiliano Zapata	1.9	1.0	0.0	0.0	2.6	14.3	54.7						74.5
Estancia de Ánimas	18.6	0.0	0.8	0.0	2.0	67.6	71.8						160.8
La Victoria	1.0	0.0	0.4	0.2	1.8	47.2	88.4						139.0
Las Arcinas	6.6	0.0	4.4	0.0	6.2	58.8	10.8						86.8
Loreto	9.2	0.0	0.0	0.0	5.4	54.4	37.4						106.4
Marianita	8.0	0.4	6.8	0.4	0.8	50.0	21.8						88.2
Mesa de Fuentes	6.8	2.2	1.6	0.0	1.0	53.0	28.6						93.2
Mogotes	1.6	0.0	0.0	0.0	2.6	54.4	128.2						186.8
Momax	17.0	0.0	0.0	0.0	0.0	45.0	66.0						128.0
Palmas Altas	18.1	9.8	0.1	0.0	4.1	51.7	79.9						163.7
Providencia	0.6	0.2	0.0	0.0	9.8	30.1	95.0						135.7
Rancho Grande	2.0	5.0	0.0	0.0	0.0	42.6	52.6						102.2
Santa Fe	3.6	0.0	0.0	0.0	5.8	68.4	129.4						207.2
Santa Rita	8.1	0.8	0.4	0.0	0.0	31.8	57.6						98.7
Santo Domingo	11.0	0.0	0.0	0.0	0.0	68.6	162.0						241.6
Sierra Vieja	5.2	0.1	1.2	0.0	0.0	113.3	19.0						138.8
Tanque Hacheros	12.0	0.0	2.4	3.4	0.4	34.4	34.0						86.6
Tierra Blanca	17.0	2.6	8.4	1.2	0.2	94.0	134.4						257.8
U.A. Agronomía	11.2	0.0	2.2	0.0	11.4	59.4	39.8						124.0
U.A. Biología	6.4	0.0	5.2	0.0	1.6	55.8	39.6						108.6
UPSZ El Remolino	6.1	0.1	0.0	0.0	5.5	11.7	210.2						233.6
Villanueva	21.0	9.0	0.0	0.0	0.0	57.0	112.0						199.0
PROMEDIO	8.2	1.1	1.8	0.2	2.5	48.3	76.7						138.9
VALOR MÁXIMO	21.0	9.8	11.1	3.4	11.4	113.3	261.6						271.2
VALOR MÍNIMO	0.0	0.0	0.0	0.0	0.0	9.6	10.8						63.2

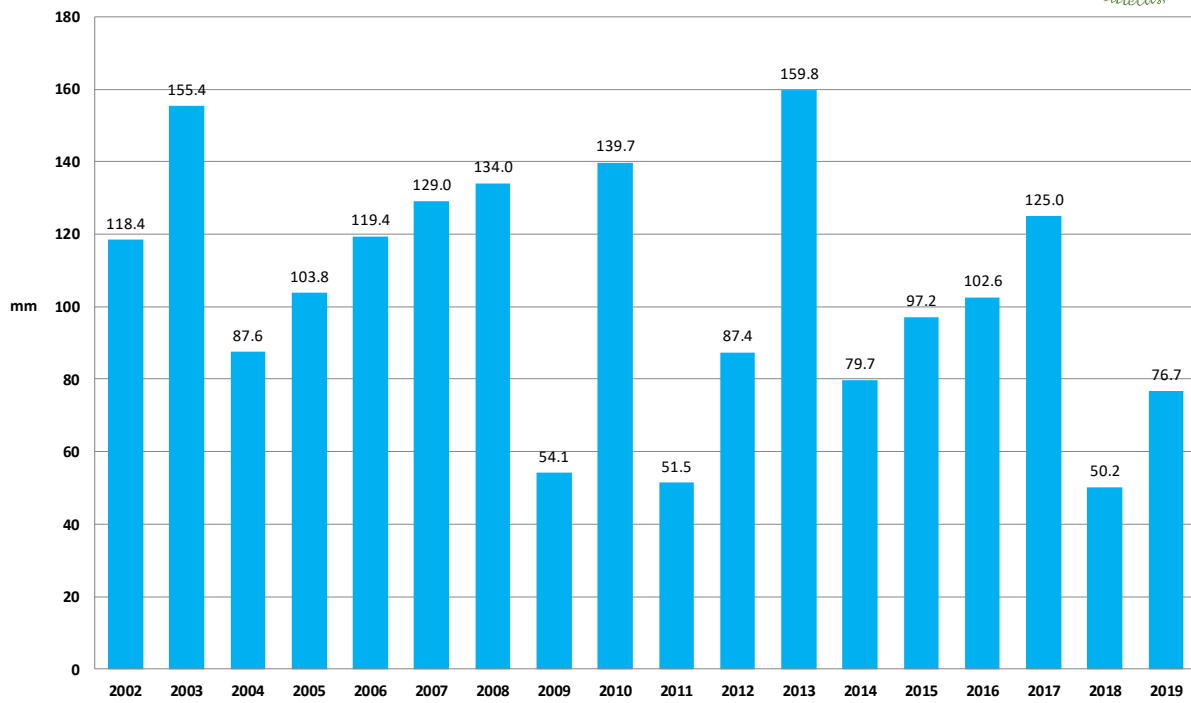


Figura 21. Precipitación promedio histórica del mes de julio considerando las 38 estaciones de la red de monitoreo agroclimático del estado de Zacatecas.

Literatura citada

- ADCON. 2000. Advantage A730. Manual del usuario. Versión 3.4. 388 p.
- Cabral, N. Y. Z. R.; Mena C., J.; Medina G., G.; Casas F., I. y Sánchez G., R. A. 2012. Sistema de alerta para conchuela del frijol y gusano cogollero en el estado de Zacatecas. Instituto Nacional de Investigaciones Forestales, Agrícolas y Pecuarias, Centro de Investigación Regional Norte Centro. Campo Experimental Zacatecas. Calera, Zacatecas, México. 48 p. (Folleto Técnico No. 44).
- Flores L., H. E. y Ruiz C., J. A. 1998. Estimación de humedad del suelo para maíz mediante un balance hídrico. Terra. Vol. 16 No. 3. 219-229.
- Frere, M. y Popov, G. F. 1980 Pronóstico de cosechas basado en datos agrometeorológicos. Estudio FAO: Producción y protección vegetal No. 17. Roma. 66p.
- Herron, C. A. 2013. Agua y Cambio Climático en México 2007-2012: Análisis y Recomendaciones a Futuro. Comisión Nacional del Agua. 71 p.
- Instituto Interamericano de Cooperación para la Agricultura (IICA). 2015. Agricultura y variabilidad climática. Lo que debemos saber del clima. Ficha Técnica No.1. 4 pp.
- INFODEPA. 2012. Informativo producido y editado por ODEPA. Santiago de Chile. 2 p.
- Instituto Nacional de Estadística Geografía e Informática (INEGI). 2014. Anuario estadístico y geográfico de Zacatecas 2014.
- Israelsen, O. W., y Hansen, V. E. 1965. Principios y aplicaciones del riego. Seg. Ed. Editorial Reverte, Barcelona, España. 385pp.
- Martinez L., B. y Gay y G., C. 2015. Introducción. En: Reporte Mexicano de Cambio Climático. Grupo 1. Bases científicas, modelos y modelación. Ed: Gay y G., C., Cos G., A. y Pena L., C. T. Universidad Nacional Autónoma de México/Programa de Investigación en Cambio Climático. 293 pp.
- Medina G., G.; Ruiz C., J. A. y María R., A. 2004. SICA: Sistema de Información para caracterizaciones agroclimáticas. Versión 2.5. Documentación y manual del usuario. Tema didáctico Núm. 2. Segunda edición. Centro de Investigación Regional Norte-Centro. Campo Experimental Zacatecas. Calera, Zacatecas, México. 74 p.
- Medina G., G. 2016. Red de Monitoreo Agroclimático del estado de Zacatecas. Desplegable informativa Núm. 15. Cuarta reimpresión. Centro de Investigación Regional Norte-Centro. Campo Experimental Zacatecas. Calera, Zacatecas, México.

- Ortiz S., C. A. 1987. Elementos de agrometeorología cuantitativa. Tercera edición. Departamento de Suelos. Universidad Autónoma Chapingo. Chapingo, México. 326 p.
- Palacios V., E. y García A., E. 1989. Introducción a la teoría de la operación de distritos y sistemas de riego. Colegio de postgraduados. Centro de Hidrociencias. Montecillo, Edo. De México. México. 482pp.
- Rice, R. C., Bowman, R. S., y Jaynes, D. B. 1986. Percolation of water below an irrigated field. Soil Sci. Soc. Am. J. 50:855-859.
- Ruiz-Corral, J. A., Flores-López, H. E., Ramírez-Díaz, J. L. y González-Eguiarte, D. R. 2002. Temperaturas cardinales y duración del ciclo de madurez del híbrido de maíz H-311 en condiciones de temporal. Agrociencia volumen 36, número 5, septiembre-octubre.
- Sánchez, S. R., F. J. 2005. Evapotranspiración. [En línea: 27 de julio de 2005] <http://web.usal.es/~javisan/hidro/hidro.htm>. [Consultado: 27 de julio de 2005]
- Servín P., M.; Medina G., G.; Casas F., I. y Catalán V., E. A. 2012. Sistema en línea para programación de riego de chile y frijol en Zacatecas. Instituto Nacional de Investigaciones Forestales, Agrícolas y Pecuarias, Centro de Investigación Regional Norte Centro. Campo Experimental Zacatecas. Calera, Zacatecas, México. 42 p. (Folleto Técnico No. 42).
- Silva S., M. M. y Hess M., L. 2001. Caracterización del clima en el norte de Tamaulipas y su relación con la agricultura. Instituto Nacional de Investigaciones Forestales, Agrícolas y Pecuarias, Centro de Investigación Regional del Noreste. Campo Experimental Río Bravo, Río Bravo Tamaulipas, México. 50 p. (Publicación técnica No. 1).
- Soto, F., Plana, R. y Hernández, N. 2009. Influencia de la temperatura en la duración de las fases fenológicas del trigo harinero (*Triticum aestivum* ssp. *aestivum*) y triticale (*X Triticum secale* Wittmack) y su relación con el rendimiento. Cultivos Tropicales, vol. 30, No. 3, p. 32-36.
- Veenhuizen, R. Van. 2000. Revisión de bases técnicas. En: Manual de captación y aprovechamiento del agua de lluvia. Experiencias en América Latina. Serie: Zonas áridas y semiáridas No. 13. Oficina regional de la FAO para América Latina y el Caribe. Santiago, Chile.
- Villalpando I., J. F. y Ruiz C., J. A. 1993. Observaciones agrometeorológicas y su uso en la agricultura. Editorial Limusa, S. A. de C. V. México, D. F. 133 p.
- Withers, B. y Vipond, S. 1982. El riego, diseño y práctica. Tercera reimpresión. Ed. Diana. México, D.F. 350 pp.

Reporte agrometeorológico Julio de 2019

Revisión y edición

Dr. Miguel Agustín Velásquez Valle
MC. José Grageda Grageda

CÓDIGO INIFAP

MX-0-250901-20-02-11-11-189

Encargada comisión editorial del CEZAC

Dra. Raquel Karina Cruz Bravo

Grupo Colegiado del CEZAC

Presidente: Dr. Luis Roberto Reveles Torres
Secretario: MC. Ricardo Alonso Sánchez Gutiérrez
Vocal: Dr. Jaime Mena Covarrubias
Vocal: Dr. Guillermo Medina García
Vocal: Dr. Francisco Echavarría Cháirez
Vocal: Dra. Blanca Isabel Sánchez Toledano

CAMPO EXPERIMENTAL ZACATECAS
Kilómetro 24.5 Carretera Zacatecas-Fresnillo
Apartado postal No. 18
Calera de V.R., Zac., 98500

Tel: 01-800-088-2222
Ext. 82301, 82333

Correo electrónico: inifap.zacatecas@inifap.gob.mx
Página WEB: <http://www.inifap.gob.mx>
<http://www.zacatecas.inifap.gob.mx>

Reporte agrometeorológico Julio de 2019

Toda la información presentada en esta publicación proviene del proyecto:
RED DE MONITOREO AGROCLIMÁTICO DEL ESTADO DE ZACATECAS

Esta publicación se terminó en agosto de 2019.
Publicación electrónica en formato PDF
Medio electrónico o digital: Internet
Página WEB: <http://www.zacatecas.inifap.gob.mx>

CAMPO EXPERIMENTAL ZACATECAS
DIRECTORIO

MC. Ricardo A. Sánchez Gutiérrez

Director de Coordinación y Vinculación

PERSONAL INVESTIGADOR

Dr.	Guillermo Medina García	Agrometeorología y Modelaje
Ing.	José Israel Casas Flores	Agrometeorología y Modelaje
Dra.	Nadiezhdá Y. Z. Ramírez Cabral	Agrometeorología y Modelaje
Dr.	Alfonso Serna Pérez	Fertilidad de suelos y nutrición vegetal
Dr.	Francisco G. Echavarría Cháirez	Fertilidad de suelos y nutrición vegetal
MC.	José Ángel Cid Ríos	Frijol y Garbanzo
MC.	Juan José Figueroa González*	Frijol y Garbanzo
MC.	Mayra Denise Herrera	Frijol y Garbanzo
Dr.	Jorge A. Zegbe Domínguez	Frutales
MC.	Valentín Melero Meraz	Frutales
Ing.	Manuel Reveles Hernández	Hortalizas
MC.	Miguel Servín Palestina*	Ingeniería de Riego
Dra.	Raquel Cruz Bravo	Inocuidad de Alimentos
MC.	Enrique Medina Martínez	Maíz
MC.	Francisco A. Rubio Aguirre	Pastizales y Cultivos Forrajeros
Dr.	Ramón Gutiérrez Luna	Pastizales y Cultivos Forrajeros
MC.	Ricardo A. Sánchez Gutiérrez	Pastizales y Cultivos Forrajeros
Dr.	Luis R. Reveles Torres	Recursos Genéticos, Forestales, Agrícolas, Pecuarios y Microbianos
Dr.	Jaime Mena Covarrubias	Sanidad Forestal y Agrícola
Dr.	Rodolfo Velásquez Valle	Sanidad Forestal y Agrícola
Dra.	Blanca I. Sánchez Toledano	Socioeconomía

* Becarios



SADER

SECRETARÍA DE
AGRICULTURA Y
DESARROLLO RURAL

inifap

Instituto Nacional de Investigaciones
Forestales, Agrícolas y Pecuarias